

動的単純せん断試験機による粘性土の動的強度の測定

山口大学工学部 正員 大原 資生 学生員 松田 博

1. 緒言

地震時に粘性土がもつ強度を知ることは、軟弱地盤中に設けられた基礎工の耐震設計上からも必要である。しかし、粘性土の動的強度には、間ヶキ水圧や、チキソトロピーなどの因子がからみ、その挙動はかなり複雑である。

そこで、われわれは、単純せん断試験機にて供試体に生じる変形は、地震時の地盤の変形によく似ているという点から、動的単純せん断試験機を用いて粘性土の動的強度の測定を行ない、静的強度との比較を行なうとともに、試験中に発生する間ヶキ水圧の測定を行ない、その動的強度におよぼす影響について考えた。

また、単純せん断試験機で測定される静的強度は、三軸圧縮試験から得られた強度より小さいといわれておりその点についても考察を加えている。

2. 試料および供試体

実験に用いた土は、カオリン粘土でその粒径加積曲線および物理的諸性質を、Fig. 1. Table 1. に示した。Fig. 1. をみると明らかなように、この土は粘土含有量が約 98% あり、きわめて均質な粘土であるといえる。

これに脱気水を加えてよく練り、含水比が 90% のスラリー状として脱気を行ない、これを後述するせん断箱のゴムスリーブ内に入れ、所定の圧密度 (0.5 1.0 1.5 2.0 Kg/cm²) で 24 時間圧密した。圧密後の間ヶキ比は、それぞれ 1.51 1.37 1.22 1.19 であった。供試体は、直徑 7.5 cm. 高さ 2.0 cm の円板状である。

3. 実験装置および実験方法

ここで用いた単純せん断試験機は、Fig. 2. に示すような装置である。この装置は、われわれの実験室で以前から使われているものであるが、今回は、振動台とペアリングの間に生じる摩擦力の影響を少なくし、さらに高荷重を耐えうるようにペアリングに改良を加えたものである。

この装置のせん断箱は Kjellman 型で、供試体はゴムスリーブで包まれた状態で、その外側には内径 7.52 mm. 外径 9.60 mm. 厚さ 2.0 mm のプラスチックリングを 15~17 枚重ねることにより、平面ひずみ状態が満たされている。

圧密中の排水は、上下から行ない、せん断試験中は非排水として、供試体の下部で間ヶキ水圧の測定を行なった。

載荷方法は、静的試験の場合は、ひずみ制御方式をとり、Fig. 2. で左方から、供試体に一定のひずみ速度 1 mm/min を与えた。

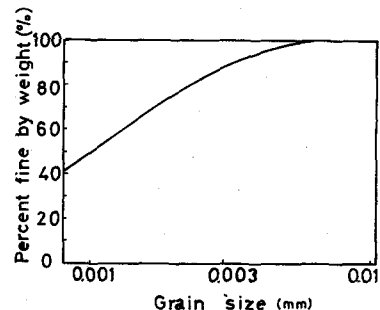


Fig. 1.

Table 1.

Specific gravity G _s	2.673
Maximum grain size D _m	6.4 μ
Liquid limit W _L	60.3%
Plastic limit W _P	34.7%
Plasticity index I _P	25.6%

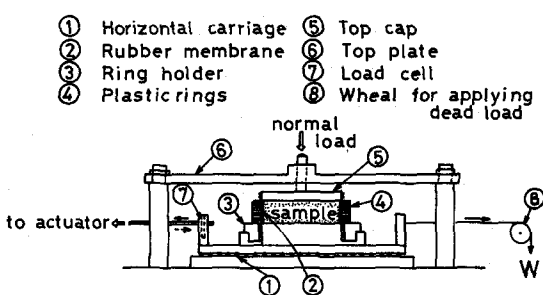


Fig. 2. Mechanism of simple shear test apparatus

動的試験を行なう場合は、複動式のエアーシリンダーの圧力室に一定の空気圧を交番的に送り込むことによつて、供試体にくり返しセン断応力を与えた。そのとき、くり返しセン断応力の波形は矩形波で、くり返し周期は2秒である。また、静的セン断応力 σ_c を負荷した状態で動的試験を行なう場合は、Fig.2.にWと記して示した死荷重を用い、 $\Delta\sigma/c_s = 0.10, 0.25, 0.50, 0.75$ について実験を行なつた。ここに、 c_s は静的セン断強度である。

4. 実験結果および考察

i). 静的強度について

Fig.3. は、単純セン断試験機を用いて静的試験を行なつたときの結果で、セン断応力とひずみの関係を示している。ひずみが増加するとセン断応力もしだいに増加し、ひずみが15%、たゞつたとき、すべての鉛直圧の場合に、セン断応力は一定となることかわかる。したがつて、ここでは供試体が破壊したことの判定として、セン断ひずみが15%になつたときとした。

Fig.3. の結果からクーロンの破壊線を求めて全応力表示すると、Fig.4. の直線①となり、この直線の示す値が静的強度 c_s となる。

ii) 単純セン断試験と三軸圧縮試験の対応

Fig.4. の直線②は、直線①を有効応力表示したものである。一方、点線④は、同じ試料について三軸圧縮試験を行ない破壊線を有効応力表示したものである。両者のあいだには、明らかに差があるが、Bjerrum et al. は粘土について、両試験での非排水強度を求めて、その比は約 $2/3$ になると報告しているが、その原因是明らかにしていない。

しかし、落合、小田、は単純セン断試験中に垂直応力 σ_v が一定ならば、最小主応力は加えられたセン断応力 c には無関係に一定値をとることを示しており、この結果を使ひ、供試体中の最大主応力 σ_1 、最小主応力 σ_3 のは、次式で与えられる。

$$\sigma_1 = \frac{(1 - K_0)\sigma_v^2 + c^2}{(1 - K_0)\sigma_v} \quad (1)$$

$$\sigma_3 = K_0\sigma_v \quad (2)$$

ここに、 σ_v ：垂直応力、 c ：与えられたセン断応力、 K_0 ：静止土圧係数

(1) (2)式を使って、単純セン断試験で、破壊時の主応力を有効応力表示して、モール円をかくと、Fig.4. のようになり、破壊包絡線は直線③で示される。ここで、三軸圧縮試験の結果④との対応をみると、単純セン断試験より得た強度が大きくなっている。これは、平面ひずみ状態と、軸対称応力状態という応力条件のちがいから生じるもので、北郷、他は、非排水強度で比べると、その差は、約8%であると報告しており、このことからも、(1),(2)式の妥当性がうかがえる。

iii) 動的強度について

正規圧密されたカオリン粘土について、死荷重Wを加えることによって、静的セン断応力と静的強度の比 $\Delta\sigma/c_s$ をそれぞれ 0.0 0.10 0.25 0.50 0.75 に変化させて動的試験を行ない、そのとき発生する間け

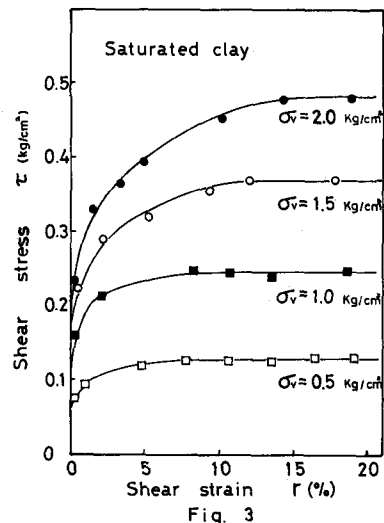


Fig. 3

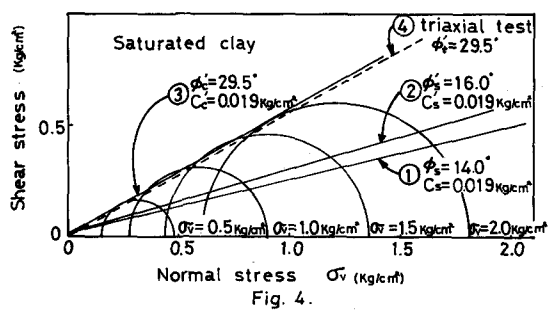


Fig. 4.

水圧の測定を行なった。

Fig.5.(a) (b) (c) は $\Delta\%_{cs} = 0.00 \quad 0.25 \quad 0.75$

の場合のせん断ひずみ、くり返しせん断応力、間ゲキ水圧についての記録例を示している。それぞれ、 $\sigma_v = 1.0 \text{ Kg/cm}^2$ (一定)として行なわれたものである。静的せん断応力の負荷によって、せん断ひずみと間ゲキ水圧の発生の様子にいくつかのちがいがみられるが、一般的な傾向

として、次のことがいえる。

くり返し回数とせん断ひずみの関係についてみると、(a), (b)では、あるサイクル数になると、せん断ひずみは急増し、破壊に至っている。しかし、(c)では、供試体は一方向にひきずらるるような形でせん断ひずみが徐々に増加し、破壊に至っているのかわからぬ。

また、間ゲキ水圧の場合も、(a) (b)については、どちらも発生の様子が似ており、せん断ひずみが急増しはじめるとあたりから、勾配が急になつている。それに対し、(c)は、あるサイクル数まで勾配は急であるが、その後はゆるやかである。

次に、これらの記録をもとにして動的強度 $\Delta\tau + \tau_s$ と、静的強度 τ_s の比が、くり返し回数れどよてどう変わるかを示したもののが、Fig.6, である。

動的強度は、くり返し回数が増加すると小さくなつてゐることから、粘性土は、くり返し載荷によつて弱化するものと思われる。これが、いわゆるくり返し効果といわれるので、粘性土の動的強度には、チキソトロピーの影響が大きいと見えらる。また、 $\Delta\%_{cs}$ の値が大きくなると、 $(\Delta\tau + \tau_s)/\tau_s$ の値も大きくなつてゐる。以前にも同様の結果を得られてはいるが、その原因として、静的せん断応力負荷によるひずみ硬化などが考えられてゐる。

Fig.7. は同様の実験結果を $(\Delta\tau + \tau_s)/\tau_s$ と、 $\Delta\%_{cs}$ の関係で整理したものである。図中、実線が実験結果を示しており、点線と実線の継距が、 τ_s/τ_s を示す。この図より明らかのように、粘性土の動的強度は、静的せん断応力負荷による強度増加と、くり返し効果による強度低下とがあわせ、たものと見えらる。

破壊時に発生している間ゲキ水圧と、くり返し回数との関係を求めたものが、Fig.8. で、 $\Delta\%_{cs}$ のそれと

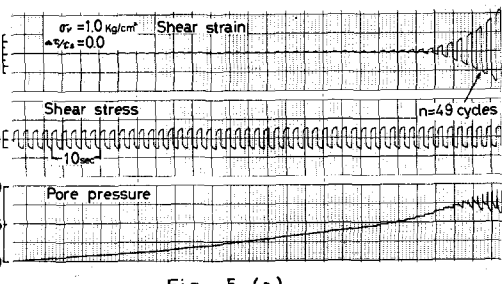


Fig. 5 (a)

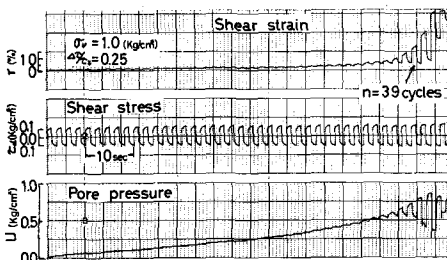


Fig. 5 (b)

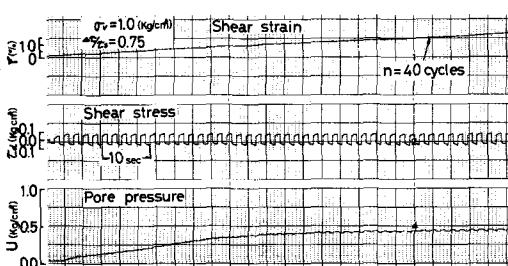


Fig. 5 (c)

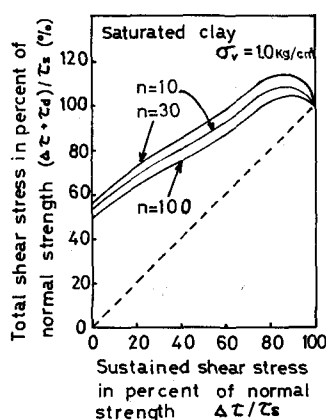


Fig. 7

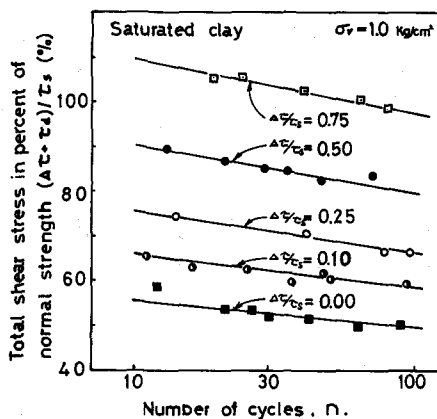


Fig. 6

の値に対して、 $\Delta\tau/\tau_s$ が大きいほど、発生する間ヶキ水圧が大きくなることを示している。このことは、Fig.6において、くり返し回数が大きくなると、動的強度が小さくなるという現象に一つの解釈を与えるものである。

Fig.9. はくり返し回数 $n=10, 30, 100$ のときに、間ヶキ水圧の発生量が $\Delta\tau/\tau_s$ によってどう変化するかを示したものである。一般に、 $\Delta\tau/\tau_s$ の値が小さいときに U/σ_v は大きくなっているが、これは Fig.7 との対応から、発生する間ヶキ水圧は、くり返しセン断応力の大きさによると考えると理解できる。しかし、 U/σ_v は $\Delta\tau/\tau_s \approx 0.25$ で最大値をとることについては明らかではない。一方圧載荷と、両方向載荷による影響かとも考えられる。

いま、1サイクル中に発生する間ヶキ水圧 ΔU と、くり返しセン断応力 $\Delta\tau$ の関係が次式であらわされるとする。

$$\frac{\Delta U}{\sigma_v} = C \left(\frac{\Delta\tau}{\sigma_v} \right)^n \quad (3)$$

(3)式の関係を示したもののが、Fig.10 である。吉見は、砂でのリングセン断での値は一定であるという報告をしており注目される。

5. 結論

今回は、単純セン断試験機を用いて、粘土についての静的強度の基準ブケを行なうとともに、動的強度の測定を行なって次のことが明らかとなつた。

くり返し回数が増加すると、動的強度は減少するが、静的セン断応力の負荷によって増加する。

そして、その原因は、粘土のチキットロピーヤ、ひずみ硬化等によるものと思われるが、間ヶキ水圧の関係からも説明できることかわかった。しかし、間ヶキ水圧は、一方圧載荷と、両方向載荷によって、その発生の様子ちがうものと思われ、今後も実験を続けて、その点について解明していく予定である。

参考文献

- 1) 大原寅生、他、"粘性土の動的性質について" 第29回土木学会年次学術講演会講演概要集
- 2) Bjerrum et al. "Direct simple-shear tests on a Norwegian quick clay" Geotechnique, Vol. 16, No. 1.
- 3) Masanobu oda "On the relation $\sigma_{6v} = k \cdot \tan \psi$ in the simple shear test" Soils and Foundations Vol. 15, No. 4.
- 4) Yoshiaki Yoshimi et al. "Influence of degree of shear stress reversal on the liquefaction potential of saturated sand" Soils and Foundations, Vol. 15, No. 3.

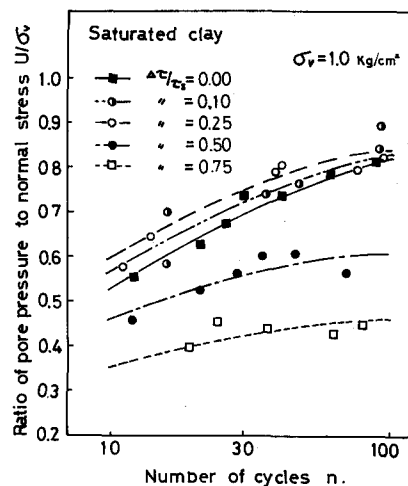


Fig. 8

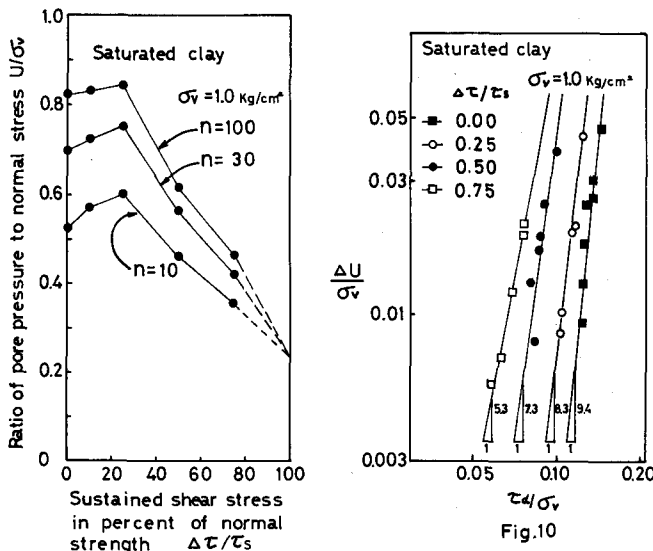


Fig. 9

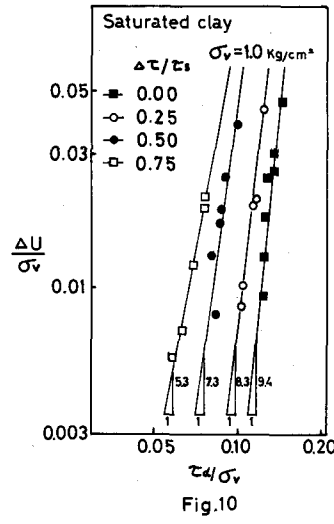


Fig. 10